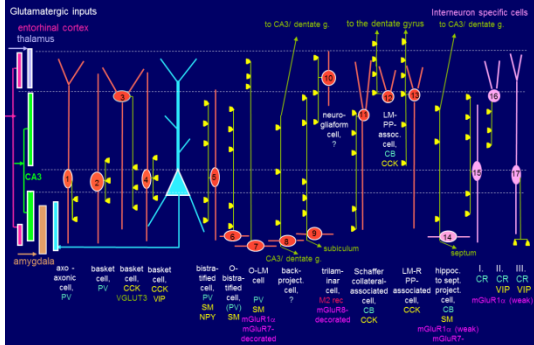
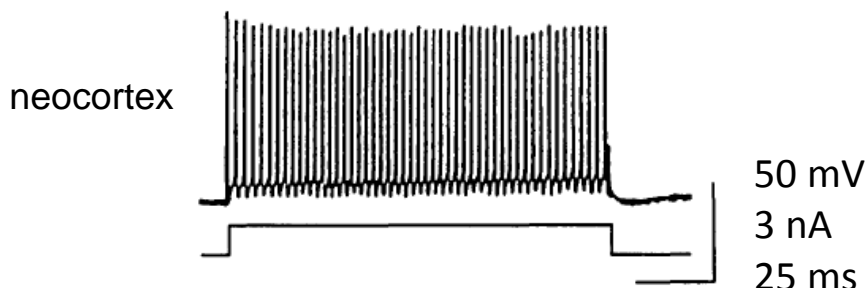
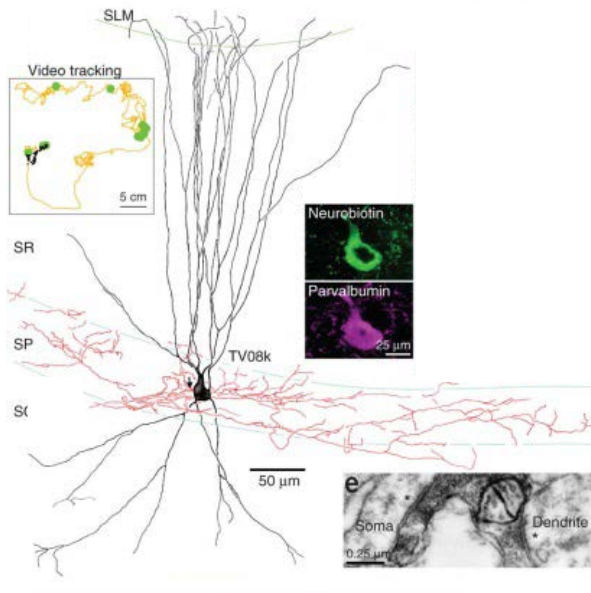
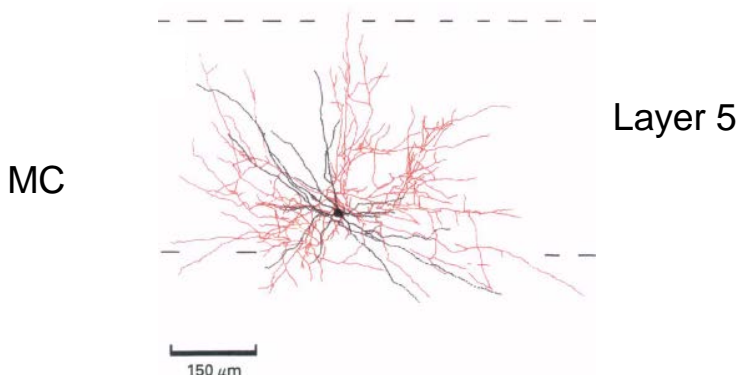
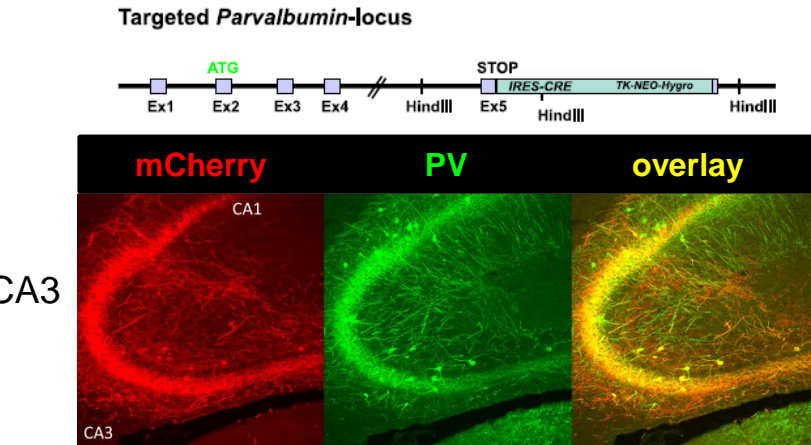
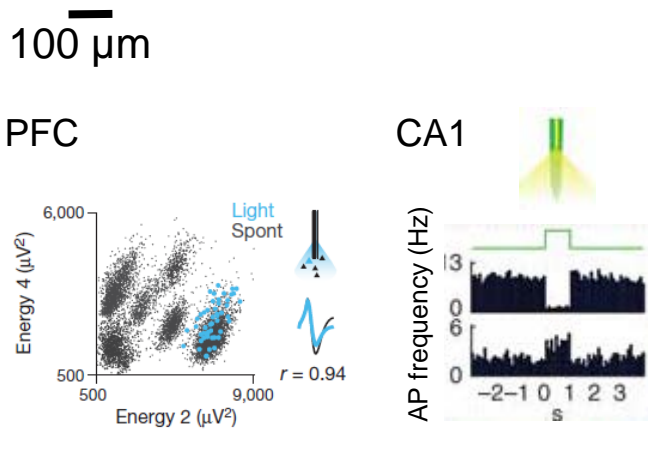
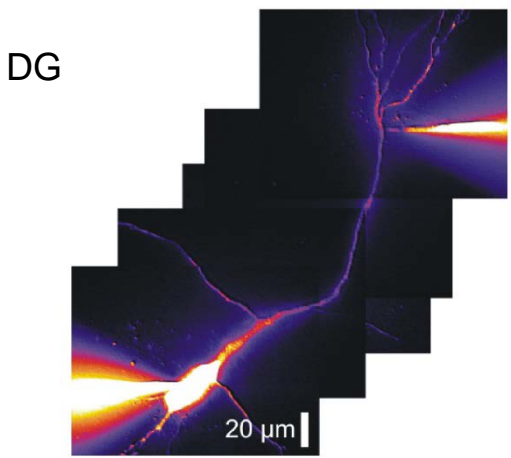
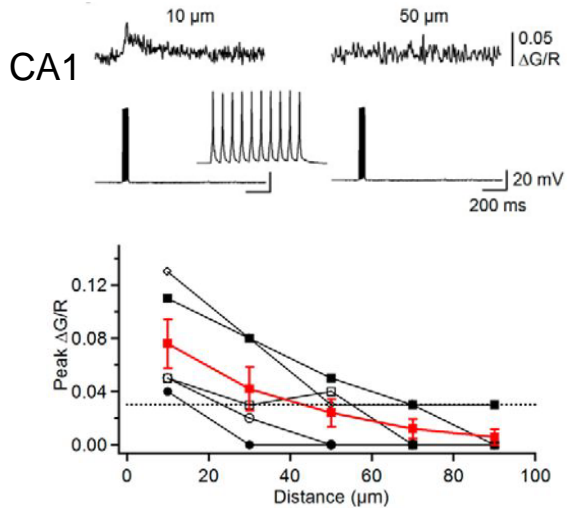
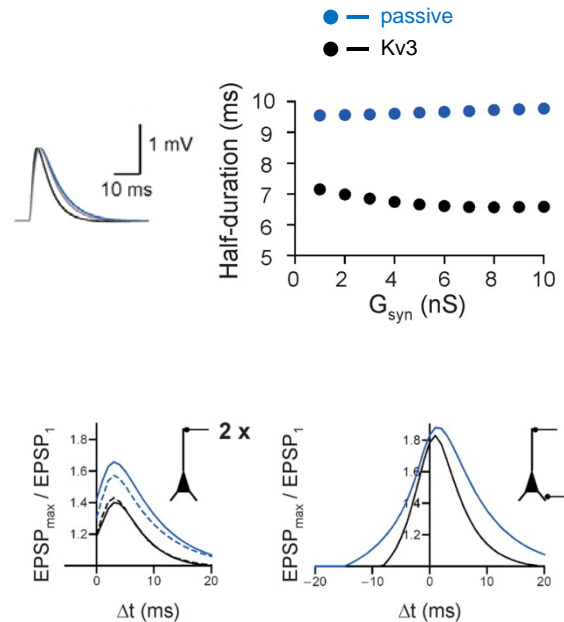
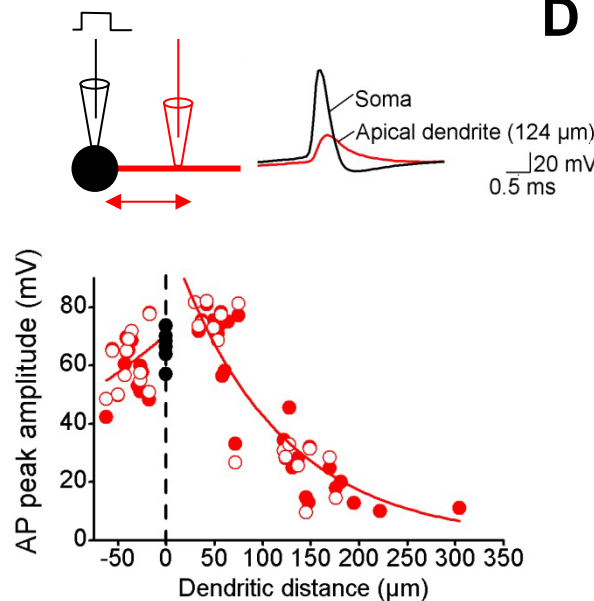
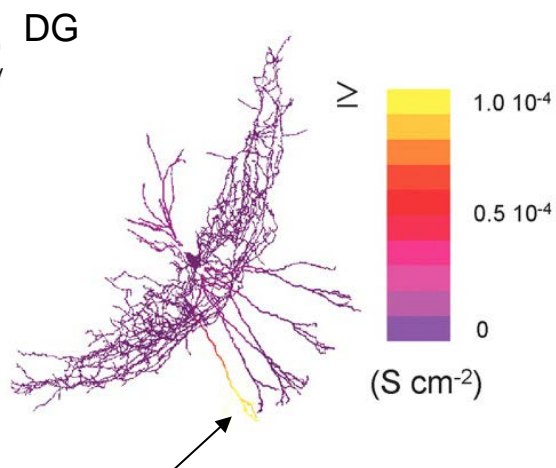
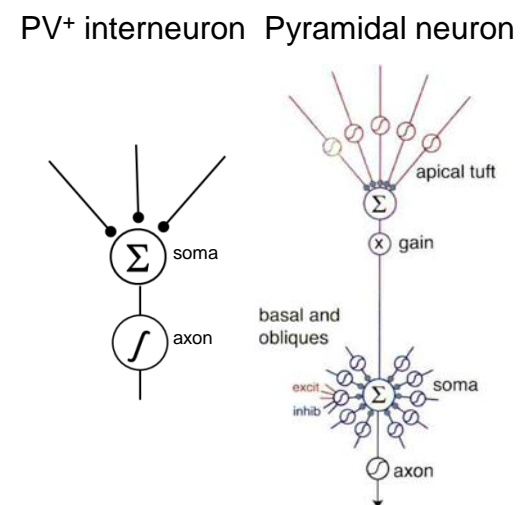
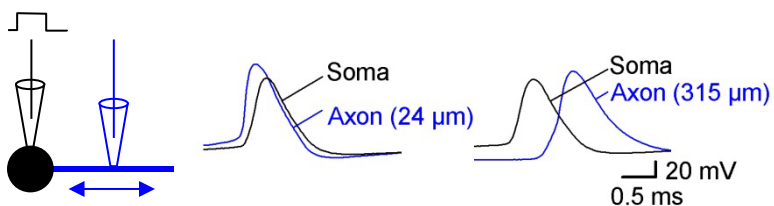
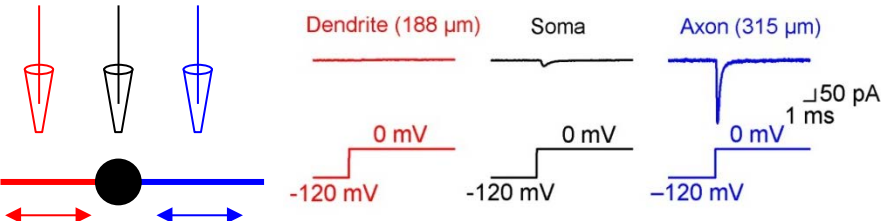


A

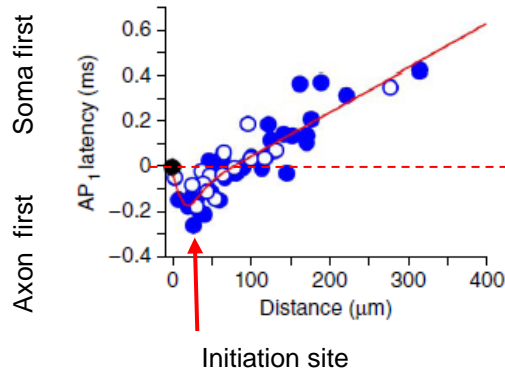
CA1

**D****B****C****E****F**

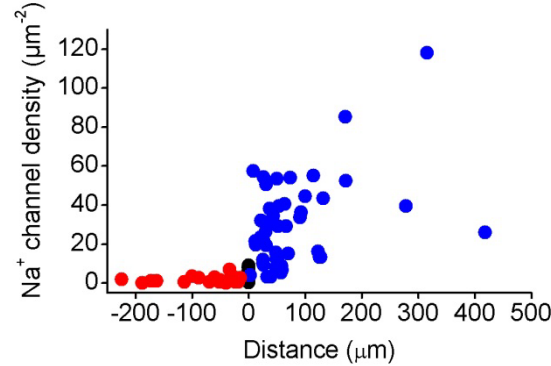
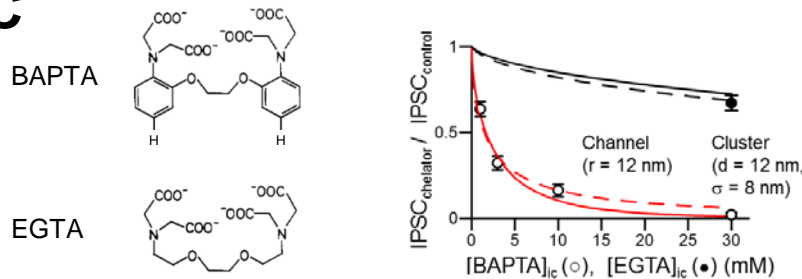
A**C****E****B****D****F**

A**B**

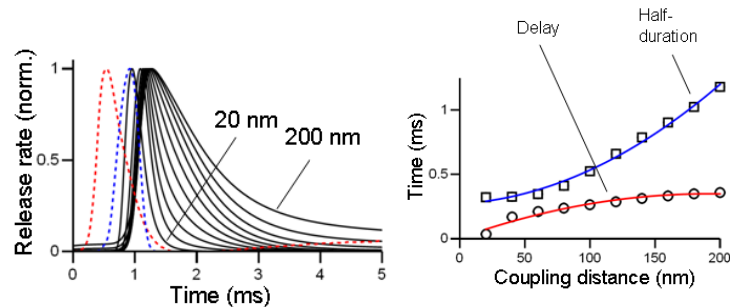
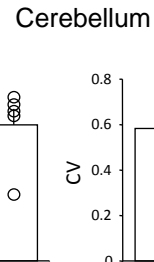
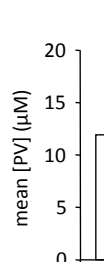
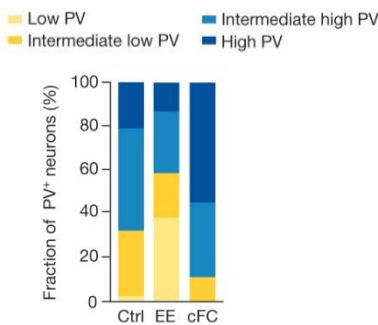
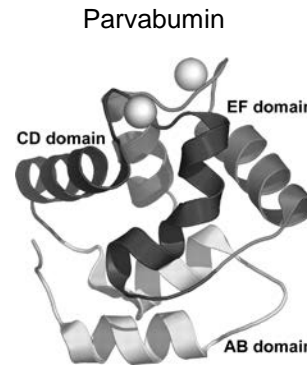
DG



DG

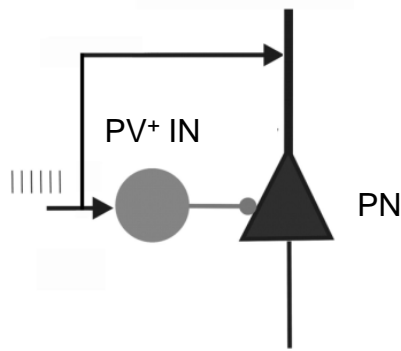
**C**

DG

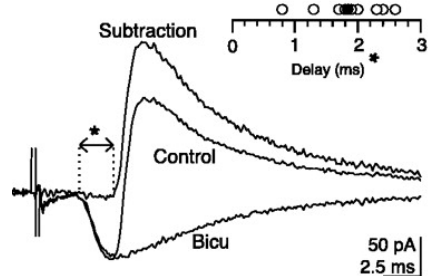
**D**

A

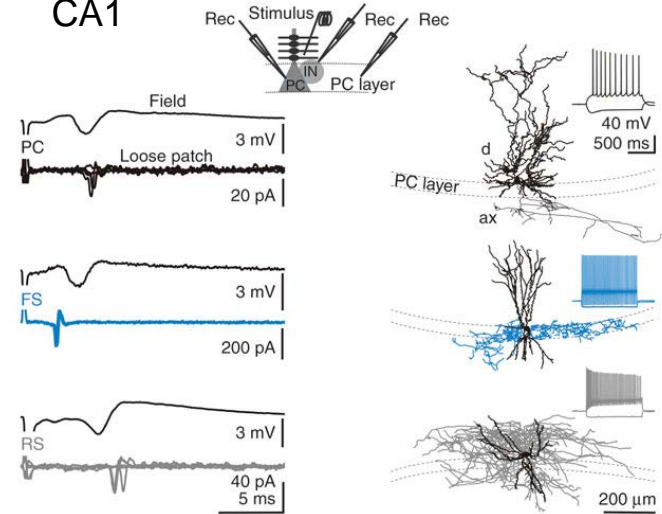
feedforward

**B**

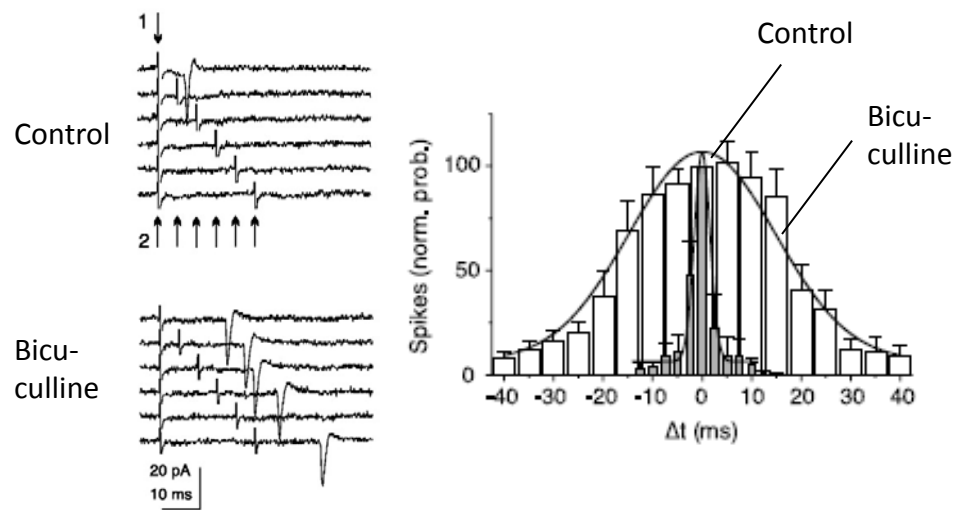
CA1

**C**

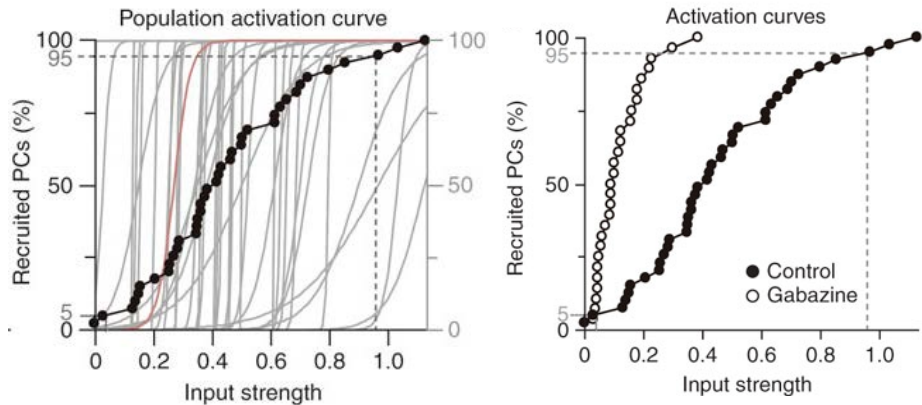
CA1

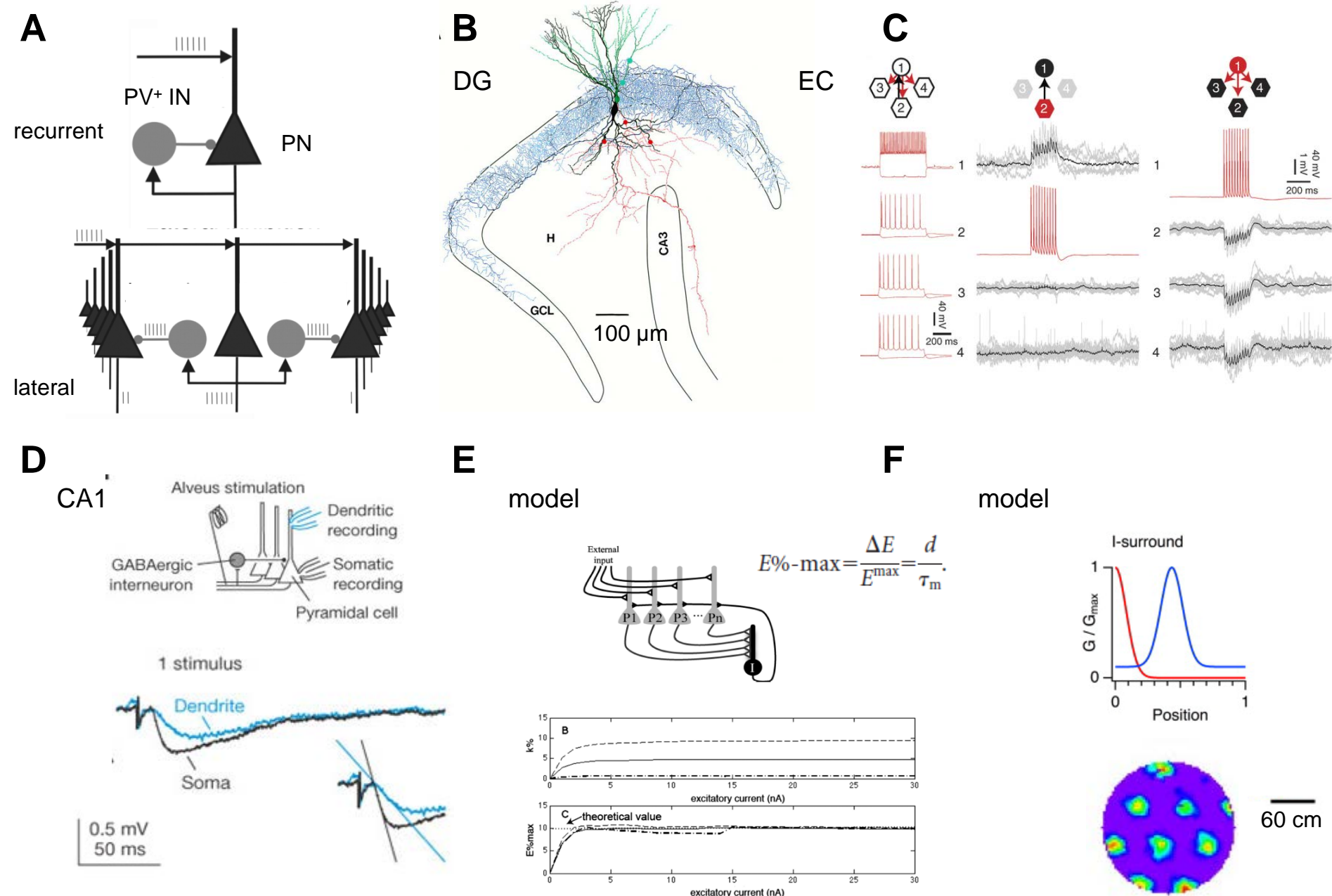
**D**

CA1

**E**

CA1





Hu et al., Fig. 5

